# Рентгенолитографический процесс изготовления рентгеновских преломляющих линз для жесткого спектра синхротронного излучения

### Неустроева Арина Андреевна // a.neustroeva@g.nsu.ru



\*Новосибирский государственный университет \*настоящая наука

Новосибирский национальный исследовательский государственный Университет, факультет естественных наук, Институт ядерной физики имени Г. И. Будкера СО РАН, Новосибирск, Россия

### Химизм рентгенолитографического процесса изготовления линз из фоторезиста SU-8 Аннотация Прогресс в современных методах исследования структуры вещества с исполь-Фоторезист SU-8 состоит из растворителя у-бутиролактона (оксолан-2-он), Растворитель Эпоксидная смола с мономером – диглицидиловым зованием рентгеновского излучения невозможен без развития рентгеновской эпоксидной смолы с мономером – диглицидиловым эфиром бисфенола А ү-бутиролактон эфиром бисфенола А (2,2-бис(4-глицидилоксифенил)пропан) оптики в общем и создания оптических структур для фокусировки пучков жест-(2,2-бис(4-глицидилоксифенил)пропан) – и фотогенератора кислоты – соли (оксолан-2-он) кого рентгеновского излучения в частности. В данной работе рассмотрен рентгексафторантимоната триарилсульфония. При воздействии синхротронного Идеализигенолитографический процесс изготовления рентгеновских преломляющих паизлучения с дозой не менее 60 Дж/см3 в зоне облучения образуется сильная рованные раболических длинных многоэлементных линз с применением негативного фокислота, инициирующая при последующей термической молекулы торезиста марки SU-8 в качестве материала линз для фокусировки пучков формирование нерастворимого твердого материала с высокой жесткого рентгеновского излучения энергией 15-50 кэВ и в качестве матрицы полимеризации. для гальванического создания металлических линз из алюминия, никеля и зо-Фотогенератор кислоты лота для фокусировки не только жесткого рентгеновского, но и гамма-излу-(соль гексафторантимоната Этапы рентгенолитографического чения энергией 50-500 кэВ. Задача настоящего исследования – определение триарилсульфония) процесса для фоторезиста SU-8: рентгенооптических характеристик для отдельных партий многокомпонентного 1-5% состава резиста SU-8, которые могут отличаться друг от друга по процентному содер-1) Нанесение на подложку слоя жидкого жанию элементов и иметь индивидуальные особенности. Исследование вклю- $CH_3H_3C$ многокомпонентного раствора фоторезиста. чает определение дозы поглощенного рентгеновского излучения и длины свободного пробега фотоэлектронов в зависимости от используемого спектра СИ. **2) Сушка** – нагревание при 95°С. Сушка при 95°C Для количественной оценки степени полимеризации материала на всех стадиях Растворитель, испаряясь, легко отделяется литографических процессов проводится анализ слоев резиста методом ИКот материала, позволяя сформироваться Испарение Фурье-спектроскопии. твердому слою. растворителя 3) Экспонирование через рентгеношаблон с открытыми Рентгенолитография Преломляющие рентгеновские линзы участками и участками золотого поглотителя. В зоне под поглотителем доза поглощенного излучения близка к нулю. В зоне открытых участков рентгеношаблона под воздействием фотона СИ и провоцируемых им вторичных процессов происходит каталитическая реакция активации фотогенератора Структура полимера SU-8: кислоты и образование активного протона. Этим протоном инициируется разрыв глицидиловых связей эпоксидных групп и $n = 1 - \delta - i\beta$ – показатель формирование цельной полимерной сети в зоне облучения при преломления элемента линзы препороговой зоне. Составная длинная преломляющая рентгенов**ская линза:** *L* – длина линзы, *p* – элемента линзы. Полимеризация при нагревании Характеристики SU-8 [1]: 4) Задубливание облученных участков долгое время фокусировка жесткого рентгена • $\rho_{SU8} = 1.24 \pm 0.02 \text{ г/см}^3$ фоторезиста при нагревании: считалась невозможной: для него коэффициент • $\delta_{SU8}(\lambda) = 1.7564 \cdot 10^{-6} \lambda^2$ дополнительно повышаем степень преломления почти равен 1, а коэффициент пог-(для E = 15-35 кB)полимеризации материала. лощения не равен 0. Эта проблема решается с При нагревании необлученной области $\mu ho_{SU8}(\lambda) = \sum_{\mathrm{III}} \mu ho_i \nu_i$ , помощью увеличения числа линз. полимеризации не происходит - в зоне $\mu(\lambda) = \mu \rho(\lambda) \rho,$ Фокусное расстояние F<sub>1</sub> для одной алюминиевой геометрической тени активной линзы с R = 0,2 мм, $\delta$ = 8,643·10<sup>-7</sup> при E = 25 кэВ кислоты нет. и F для N = 116 линз: Микроструктуры элементов • $v_i = C : O : H : Sb : F : S =$ $F_1 = \frac{R}{\delta} = 116 \text{ M}, \quad F = \frac{F_1}{N} = \frac{R}{\delta \cdot N} = 1 \text{ M}$ рентгеновских конденсоров = 72.4 : 17.9 : 6.9 : 1.326 : 1.242 : 0.349 Проявление (растворение) 5) Проявление преполимера, находящегося в зоне геометрической тени, соответствующей необлученным участкам фоторезиста в $\delta_{SU8} = 4.32 \cdot 10^{-7}, \ \beta = 2.61 \cdot 10^{-10},$ Фазовая скорость рентгеновских лучей в веществе больше скорости света в ва- $CH_3-C$ $(CH_2)_3$ $CH_3$ ацетате монометилового $\mu$ = 0,66 1/м, $\mu\rho$ = 0,543 cm<sup>2</sup>/г (**E = 25 κэВ)** кууме, длина поглощения превышает толщину перемычки => двояковогнутая эфира пропиленгликоля. линза фокусирует жесткий рентгеновский пучок. Промывка 6) Промывка в изопропиловом спирте с целью удаления непрореагировавших облучение в азоте СН—ОН компонентов. облучение в воздухе

### линейных двояковогнутых элементов линз. Определение дозы поглощенного рентгеновского излучения Механизм химических превращений в молекулах вещества определяется поглощением рентгеновского кванта с последующими вторичными явлениями и не зависит от длины волны излучения в исследуемом диапазоне. Параметром, влияющим на химические превращения, считается удельная доза поглощенного излучения D. Массовый коэффициент поглощения (А – атомный вес, $\sigma_a$ – сечение поглощения): $\mu = N_A \frac{\sum_i x_i \sigma_{ai}}{\sum_i x_i A_i} = \frac{N_A}{MW} \sum_i x_i \sigma_{ai}$ . Поглощенная в веществе интенсивность (закон Бугера-Ламберта-Бера, $\rho$ – плотность, d – толщина): $I = I_0(1 - e^{-\mu \rho d})$ Количество радиационных повреждений вещества, облученного СИ в течение времени t, зависит от дозы поглощенного рентгеновского **излучения** $D(\lambda)$ ( $\xi(\lambda)$ – угловая геометрическая функция СИ): Углерод (C) $D(\lambda, t) = t \frac{I_0(t)}{S} \mu(\lambda) \xi(\lambda) \rho e^{-\mu(\lambda)\rho d}$ Энергия фотонов, эВ График зависимости µ(Е) для углерода, сечение фотопоглощения показано прерывистой линией. Gullikson, E. M.: X-ray data booklet. Lawrence Berkeley National Laboratory (2009), перевод с изменениями. Рентгеношаблон Для рентгеношаблона $a_{T}$ – top $D_{\rm B}$ 30.7 Дж/см<sup>3</sup>; a<sub>B</sub> – bottom $(D_{\text{lum}})_{\text{max}} 2.53 \, \text{Дж/см}^3$ $(D_{\text{lum}})_{\text{max}} 1.45 \, \text{Дж/см}^3$ $(D_{\text{lum}})_{\text{max}} 0.73 \, \text{Дж/см}^3$ $D_{\rm B}$ 10.74 Дж/см<sup>3</sup>; $D_{\rm B}$ 8.78 Дж/см<sup>3</sup>; $D_{\rm B}$ 7.53 Дж/см<sup>3</sup>; $(D_{lum})_{max}$ 0.53 Дж/см<sup>3</sup> $(D_{\text{lum}})_{\text{max}}$ 0.43 Дж/см<sup>3</sup> $(D_{lum})_{max}$ 0.37 Дж/см<sup>3</sup> Микрофотографии (SEM, угол обзора 45°) рентгеношаблона из Ті/Au с отверстиями в 6,5 мкм и микрофотографии реплик из SU-8 начальной толщиной 12 мкм для различных доз при нагревании на 95° C в течение $D_{\rm B}$ 6.18 Дж/см<sup>3</sup>; $(D_{\text{lum}})_{\text{max}}$ 0.36 Дж/см<sup>3</sup> 15 мин. 10 **Профили тестовых структур** SU-8 для разных доз: Пороговые дозы: ~ 1 Дж/см $^3$ и 30 $\div$ 60 Дж/см $^3$ $D(z=L, t) = D(z=0, t)/1,05, Дж/см^3$ Снимок тестовой структуры SU-8 оптическим микроскопом $= 0.95 \div 0.99$ В ходе эксперимента воспроизводятся тестовые структуры для различных значений доз, снимается их профиль и определяется относительное изменение размера в верхней и нижней частях структуры. Первая пороговая доза соответствует началу полимеризации, когда облака оже-электронов перекрываются, но в сетке имеются непрореагировавшие компоненты (легко

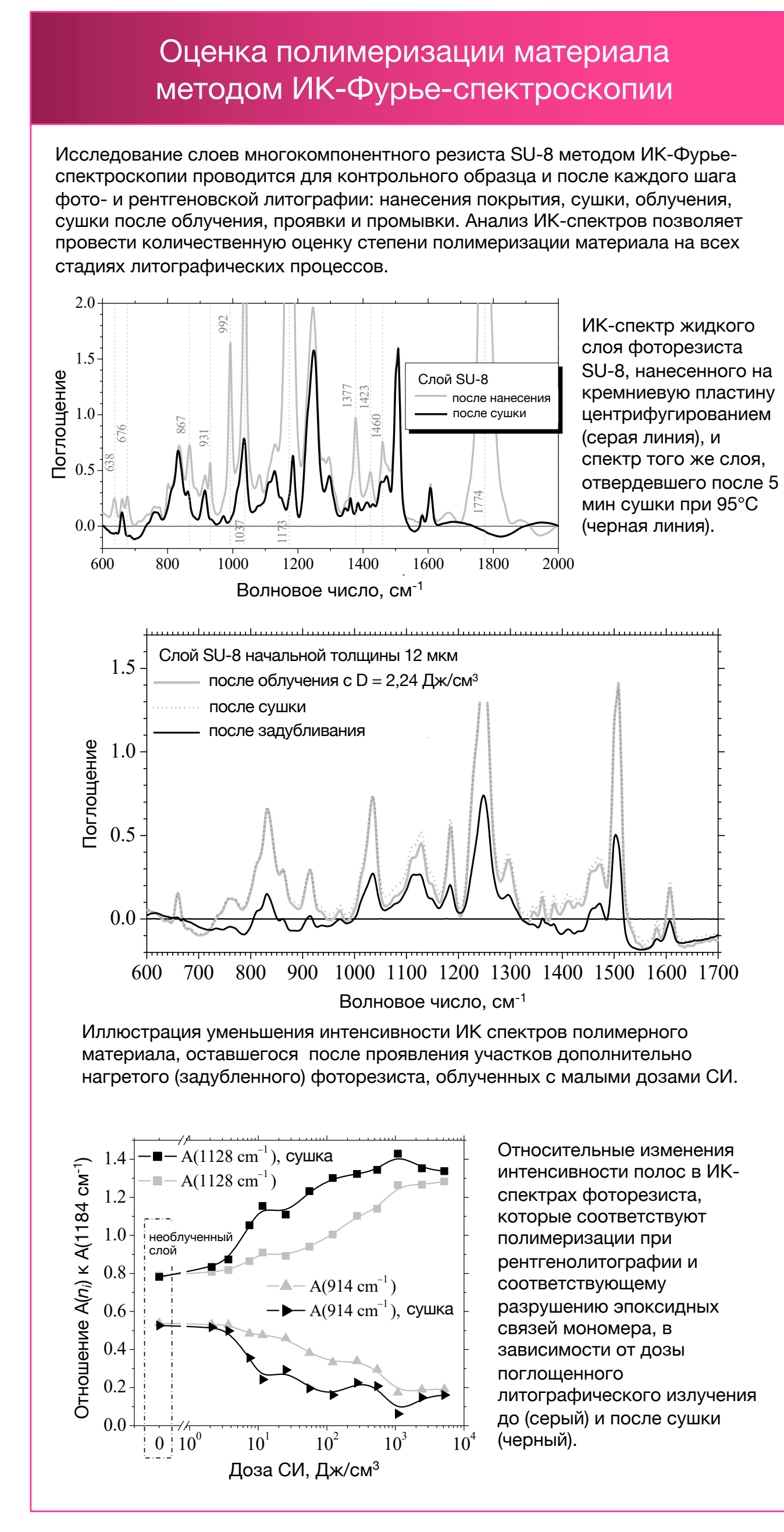
вымываются в изопропиловом спирте). Вторая доза достаточна для полной

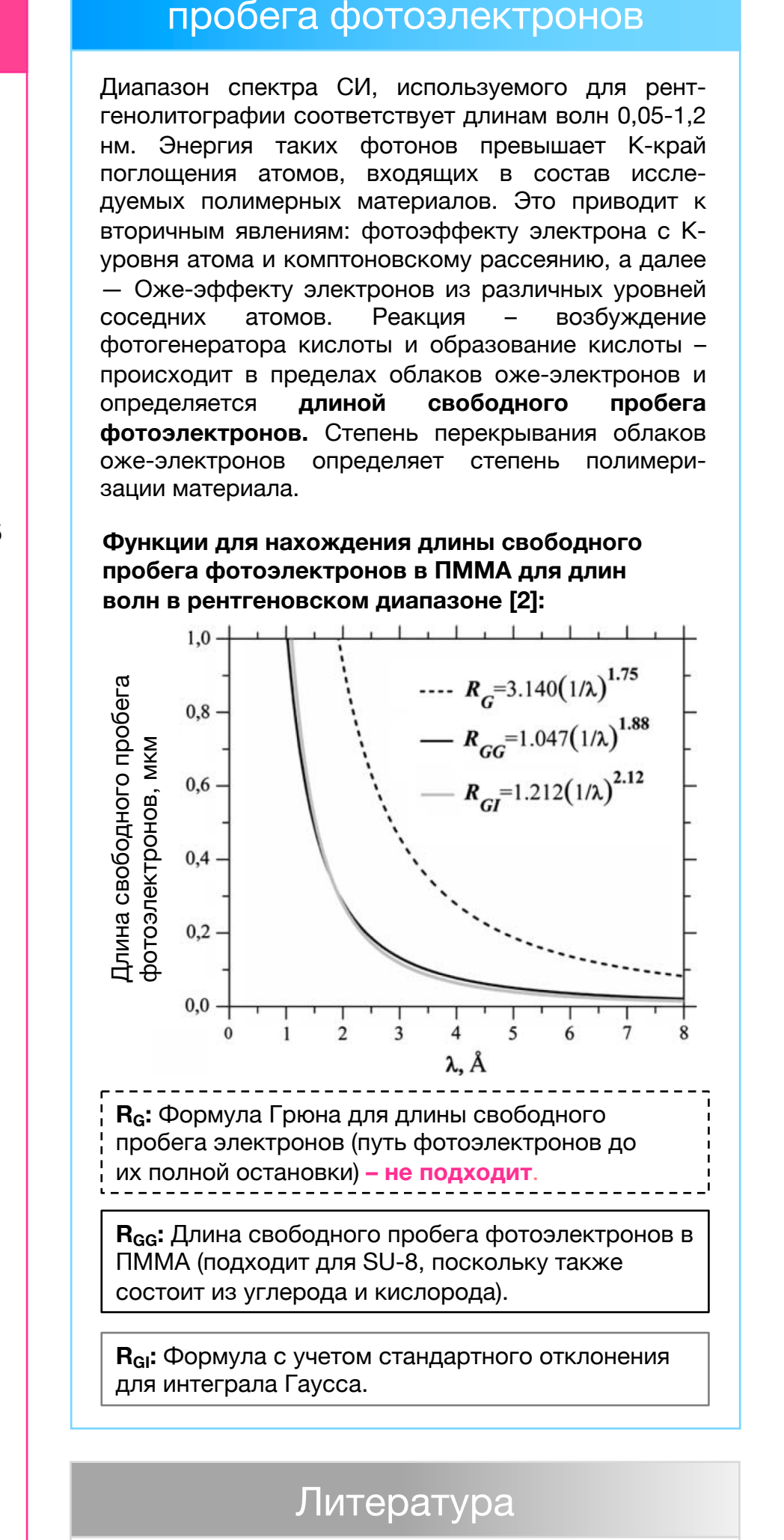
полимеризации объема.

Схема прохождения пучка от объемного источника с размерами  $\sigma_{x}$  и  $\sigma_{y}$  и угло-

вой расходимостью  $\phi_x$  и  $\phi_y$  распределения интенсивности СИ на половине мак-

симума в преломляющей системе из N совмещенных ортогонально-скрещенных





Радиационная устойчивость ароматических полимеров

40 (1998), перевод.

(комнатная температура, гамма-излучение). Y. Morita et al., Polymer

Materials under Severe Radiation Environment, Genshiryoku eye, 44 (5),

Определение длины свободного

# 1. E. Reznikova et al. Investigation of phase contrast hard X-ray microscopy using planar sets of refractive crossed linear parabolic lenses made from SU-8 polymer. // Phys. Stat. Sol. 204 (a) 2811–2816 (2007). 2. E. Reznikova, J. Mohr et al. Soft X-ray lithography of high aspect ratio SU8 submicron structures // Microsystem

Technologies 14, 1683-1688 (2008).
3. V. Nazmov, E. Reznikova, et al. X-ray Lenses Fabricated by LIGA Technology, AIP Conf. Proc. 879, 770 (2007), DOI:10.1063/1.2436174